

III-24 間隙水圧の上昇に伴う砂の三軸せん断挙動

横浜国立大学大学院 学生員 ○片桐 雅明
横浜国立大学工学部 正会員 今井 五郎

1. はじめに

平時に安定している斜面に降雨などで地下水位が上昇すると、土は水で飽和されるため土の自重が増し、下方にすべりとして斜面内に働くせん断応力が増加する。また斜面内の間隙水圧の値が上昇するため有効応力の値が減少し、土の発揮しうるせん断強度が減少する。したがってある仮想すべり面上のある部分に働くせん断応力との大きさが、そこで発揮されうるせん断強度の値と一致すると、その部分はせん断破壊してしまう。そして仮想すべり面上のどの部分でもこれが一致すれば、斜面全体のすべり破壊が生じると言わわれている。そこで、本研究では、三軸試験機を用いて、せん断応力を与え、また間隙水圧を上昇させて、その挙動を調べた。また試料土は、間隙水圧の伝わりやすい透水係数の大きな砂（豊浦砂 $G_s = 2.64$ ）を用いた。

2. 実験方法

十分脱気した試料土を、脱気水を満したカラー付きのモールド ($D=5\text{cm}$, $h=5\text{cm}$, カラーの高さ 1.5cm) 内に静かに入れ、 $D=5\text{cm}$ のトップキャップをピストンロッドにつけて、モールド内で試料を圧密した。その後、カラーを取り、供試体として整形して、負圧を与えて自立させ、供試体の高さ・直徑を測定した。ここで供試体の端面は、端面摩擦を軽減するために摩擦軽減層（2層系）をもつけた。その後セル水を入れ、側圧を 0.1kgf/cm^2 にして、flashingを行った（15分以上）。そしてバッファプレッシャー (1.0kgf/cm^2) を与え、2時間後、所定の側圧にして等方圧密を行った。圧密時間は30分以上とした。B値はほぼ1.0であった。

三軸試験機は、供試体の上部の排水系を間隙水圧計に接続し、下部の排水系をビューレットに接続する（図-1）。本試験は、せん断試験（S-test）と、間隙水圧を上昇させる試験（P-test）の2つの試験を組合せて行った。S-testは、側圧を減少させ、かつある軸力を与え（NO.7は側圧一定）、間隙水圧・軸変位・体積変化を測定した。またP-testは、ビューレットの水面に所定の圧力を与え、それを供試体の下部より供試体に与え、供試体の上部で供試体内の間隙水圧を測定した。同時に軸変位・体積変化も測定した。そして供試体の下部より与えた圧力が上部に完全に伝ったと確認できたら、次のステップに進んだ。S-test, P-testは排水条件で行つたが、S-test, P-testの側圧・軸力・間隙水圧の増減分は非排水条件で与えた。

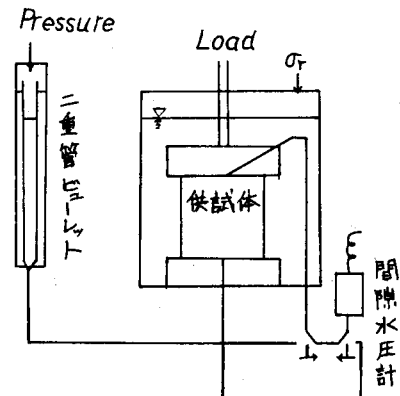


図-1 S, P-test の排水系

3. 試験結果

(A) 有効応力経路；図-2に本試験の有効応力経路を示す。有効応力状態は、S-testを一△（非排水状態）、一×（排水条件）で、P-testを一○（排水状態）で示している。CD-test ($\sigma_r = 0.2, 1.0\text{kgf/cm}^2$), CU-test ($\sigma_r = 1.0\text{kgf/cm}^2$, $\sigma'_r = 1.0\text{kgf/cm}^2$ で圧密後 $\sigma_r = 0.2\text{kgf/cm}^2$ で再圧密) の結果も示す。

S-testで、水圧増加後から排水後 (O→X) は各ステップでの全応力の状態変化を示している。水圧増加後から非排水載荷後 (O→△) はその間の有効応力の状態変化を示している。従つて、非排水載荷後 (△) と排水後 (X) の距離が各ステップで発生した過剰間隙水圧の量を示している。この各ステップでの過剰間隙水圧の大きさは、 δ/ρ' の値が小さい場合には、負であり、 δ/ρ' の値が大きくなるにつれて正に変化していく。その後、 δ/ρ' の値が破壊線近くから以降は、負の値となる。図-2

N.O.7はあらかじめせん断応力を与えて(A点), そこから随時, 間隙水圧を上昇させた場合であるが, B点に有効応力状態が達するまでの各点では, 間隙水圧を上昇させると, 同時に供試体の上部でもその値となる, E。しかし, B点以後, 供試体の上部の間隙水圧のあがり方は遅くなり(

P' は徐々に減少)同時に軸変位・体積が増加し, 供試体の断面積が増加する。与えた軸力は一定であるから, ϵ の値が減少する。その後ある程度変形して, 供試体上部の間隙水圧が下部の間隙水圧となると, 変形はほとんど進行しなくなった(C,D,E点)。S-testでも下部の間隙水圧と上部のそれとが, 排水状態で異なる場合には変形が進行し, 同じ値となるまで変形し, 同じ値になるとほとんど変形しなくなる, E(N.O.10)。

N.O.7,9,10の最終点では, 軸変位が非常に大きくなり, ペデスターの直徑よりも供試体の中央の直徑が大きくなり, ϵ , γ の値を過大評価し

ている。この有効応力経路を, 原点を通る直線(F_L)にのせてみると, このF_Lの傾きから中を求める, C-D-testの ϕ , CU-testの ϕ と比べる。 $\phi'(34^\circ \sim 38^\circ)$ は, $\phi(46^\circ \sim 48^\circ)$ 及 $\phi(44^\circ \sim 49^\circ)$ より小さく, ϕ と中は, ほぼ同じ範囲にあった。

(b) $\epsilon_a \sim \gamma$; 図-3にN.O.7,9の軸ひずみ~ γ を示す。図のA~E, a~gは, それまで図-2のそれに対応する。供試体の応力状態が, 破壊線附近に達するまではほとんど軸ひずみは発生しない(A~B, a~d)。その後間隙水圧を上昇させると, その γ に対して ϵ_a の値が定まり, その ϵ_a の値となるように変形していく。すなわち
① 有効応力状態が, 破壊線に達するまではほとんど変形しない。② 有効応力状態が破壊線に達すると, 抵抗しうる γ が減少する。③ それと同時に大きな変形が生じる。

4まとめ

- ① 有効応力状態が, 破壊線に到達するまではほとんど変形しないが, 破壊線に到達すると抵抗しうるせん断強度が減少し, それと同時に大きな変形が生じる。
- ② 非排水載荷後の各点の位置は, CU-testの傾向と似ている。

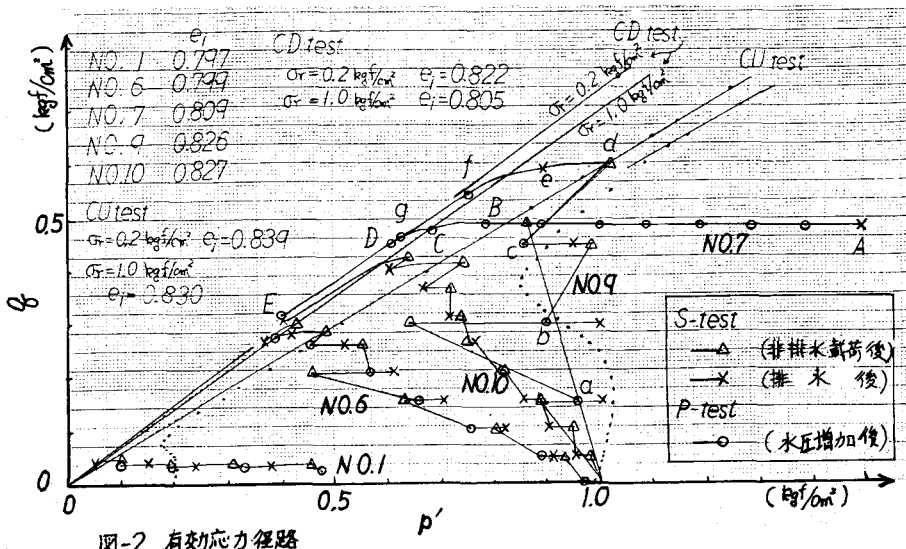


図-2 有効応力経路

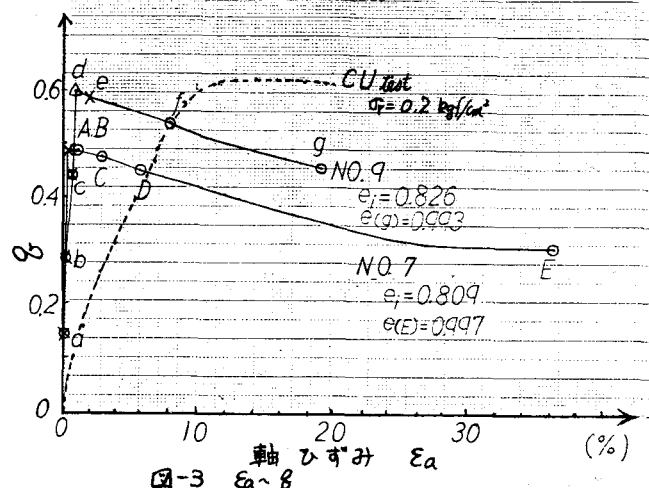


図-3 $\epsilon_a \sim \gamma$